

شناسایی *In Silico* ژن‌های دخیل در بیوستتر توکوفرول در گیاه عدس (*Lens culinaris*)

عاطفه مجیدی^۱، علیرضا عباسی^۲، سجاد رشیدی منفرد^۳

۱- دانشجو و دانشیار، گروه زراعت و اصلاح نباتات، پردیس کشاورزی و منابع طبیعی دانشگاه تهران، ۳- استادیار، گروه بیوتکنولوژی، دانشکده کشاورزی، دانشگاه تربیت مدرس تهران.

(تاریخ دریافت: ۱۳۹۸/۱۱/۱۹ - تاریخ پذیرش: ۱۳۹۹/۳/۵)

چکیده

توکوفرول‌ها (ویتامین E)، گروهی از ترکیبات آلی هستند که فعالیت‌های حیاتی را در سلول‌های گیاهی فراهم می‌کنند؛ دستگاه فتوستتری را از خسارت اکسیداتیو نوری در امان نگه می‌دارند و باعث حفاظت غشای کلروپلاست از پروکسیداسیون لیپید می‌شوند؛ همچنین وجود آن‌ها در تنفسیه انسانی ضروری است. در این تحقیق، شش ژن دخیل در بیوستتر توکوفرول‌ها شامل *HPPD/PDS1*, *VTE5*, *HPT/VTE2*, *VTE3/APG1/IE35*, *TC/VTE1*, *γ-TMT/VTE4* و *VTE3* از طریق بهترزایی فراورده‌های این ژن‌ها به کمک پایگاه‌های اطلاعاتی و نرم‌افزارهای بیوانفورماتیک، به صورت *In Silico* در گیاه عدس شناسایی شدند که می‌توان پس از شناسایی و جداسازی ژن‌ها، آن‌ها را برای اهداف اصلاحی عدس از طریق بهترزایی ستی یا روش‌های نوین زیست فناوری به کار برد. ترسیم درخت فیلوزنیکی با برنامه MEGA 7 نشان داد که اکثر این ژن‌ها در گیاه عدس با گیاهان هم‌خانواده خود مانند نخدود و یونجه هموولوژی بالایی دارند. پیش‌بینی حضور دمین‌های حفاظت‌شده مشخص کرد که پروتئین *HPPD* دارای دو دمین و یک زیردمین و پروتئین‌های *γ-TMT* و *VTE3* هر کدام دارای یک دمین حفاظت‌شده می‌باشند. نتایج حاصل از توصیف پروتئین‌ها با استفاده از ابزار ProtParam تعیین کرد که بالاترین فراوانی از نظر ترکیب اسیدهای آمینه، به لوسمین، سرین و گلایسین و کمترین فراوانی، به دو اسیدآمینه سلنوسیستین و پیرولیزین تعلق داشت. با استفاده از برنامه DeepLoc-1.0 پیش‌بینی شد که بدغیر از پروتئین *HPPD* که محلول در سیتوپلاسم است، پنج پروتئین دیگر در فضای بین دو غشا پلاستیدها قرار می‌گیرند.

واژه‌های کلیدی: بیوانفورماتیک، پروتئین، ژن، عدس، ویتامین E

In Silico identification of genes involved in tocopherol biosynthesis in lentil (*Lens culinaris*) plant

Atefeh Majidi¹, Alireza Abbasi², Sajad Rashidi-Monfared³

1,2. Department of Agronomy and Plant Breeding, University College of Agriculture and Natural Resources, University of Tehran, Iran. 3. Department of Plant Breeding and Biotechnology, Faculty of Agriculture, Tarbiat Modares University, Tehran, Iran.
(Received: February 8, 2020 - Accepted: May 25, 2020)

ABSTRACT

Tocopherols (Vitamin E) are an important group of organic compounds that realize vital activities in plant cells. They protect the photosynthetic system from photooxidation damages and prevent the lipid peroxidation of the chloroplast membrane. The presence of this plant organic compound in human nutrition is essential. In this research, six genes involved in the biosynthesis pathway of vitamin E including *HPPD/ PDS1*, *VTE5*, *HPT/ VTE2*, *VTE3/ APG1/ IE35*, *TC/ VTE1*, *γ-TMT/ VTE4* and their products are identified in lentil plant using databases and bioinformatics software. After this identification, genes are implemented for breeding purposes of lentil through traditional breeding or modern biotechnology methods. According to the phylogenetic tree obtained by the MEGA 7 program, it was observed that most of these genes in the lentil have high homology to legume plants such as chickpea and alfalfa. In addition, the prediction of the presence of conserved domains revealed that the *HPPD* protein had two domains and one subdomain, and each of the proteins *γ-TMT* and *VTE3* had only one conserved domain. Moreover, the results of the proteins description using ProtParam tool showed that the highest frequency with respect to the amino acids belonged to leucine, serine and glycine; by contrast, selenocysteine and pyrrollysine had the lowest frequency. The use of the DeepLoc-1.0 program predicted that only *HPPD* proteins were soluble in the cytoplasm, while five other proteins were located in the intermembrane space.

Keywords: Bioinformatics, gene, lentil, protein, vitamin E.

* Corresponding author E-mail: rezabbasi@ut.ac.ir

مقدمه

۷ و ۸) در گیاهان یافت شده‌اند (Mène-Saffrané & DellaPenna, 2010).

HGA پیش‌ماده همه انواع ویتامین E است و توسط p-هیدروکسی فنیل پیروروات دی‌اکسیژناز (HPPD)، از مسیر شیکیمات تولید می‌شود (Mène-Saffrane & Pellaud, 2017). زنجیره جانبی پرنیل، توسط گرانیل‌گرانیل دی‌فسفات (GGPP) تحت کاتالیزور گرانیل‌گرانیل پیروفسفات سنتاز (GGPPS) از مسیر متیل اریتریتول فسفات (MEP) تولید می‌شود (Ruiz-Sola et al., 2016; Mène-Saffrane and Pellaud, 2017). برای سنتز توکوفرول، نیاز به کاهش GGPP به فایتیل پیروفسفات (PPP) نوسط یک گرانیل‌گرانیل ردوکتاز (GGR) است. در دانه‌ها و برگ‌های آرابیدوپسیس، سنتز توکوفرول بیشتر به فیتول کیناز^۵ و فایتیل فسفات کیناز^۶ VTE5^۷ و VTE6^۸ بستگی دارد که به طور پیوسته فیتول را به فایتیل پیروفسفات فسفوریله می‌کند (Valentin et al., 2006; Vom Dorp et al., 2015). در برگ‌های سالم، فیتول مورد استفاده برای سنتز توکوفرول اغلب از هیدرولیز کلروفیل تشکیل شده‌است (Vom Dorp et al., 2015).

گام مهم در بیوسنتز توکوکرومانول، تغليظ HGA با یک زنجیره جانبی ايزوبرنئیدی است که به‌وسیله پرنیل ترانسفراز انجام می‌گیرد. سنتز توکوفرول توسط یک هموجننتیسات فایتیل ترانسفراز (HPT) آغاز می‌شود (Mène-Saffrane and Pellaud, 2017); متیل فایتیل بنزوکوئینون حاصل به‌وسیله متیل ترانسفراز (MT) متیله می‌شود تا دی متیل فایتیل بنزوکوئینون را تشکیل دهد که هر دو فرم به‌وسیله

عدس (Fabaceae) گیاهی از خانواده *Lens culinaris* که بعد از سویا در میان حبوبات، بیشترین پروتئین (حدود ۲۵ درصد) و کمترین روغن را دارد و به علت وجود پروتئین بالا، مواد معدنی، فیبر و کربوهیدرات‌ها، منبع غذایی مهمی برای انسان است. ساقه، کاه و کلش و پوسته غلاف این گیاه دارای ارزش غذایی بالایی است و برای مصرف دامهای اهلی مناسب است (Muehlbauer et al., 2006; Yadav et al., 2007; Srivastava & Vasishtha, 2012).

توکوفرول‌ها (ویتامین E)، گروهی از ترکیبات آلی هستند که به صورت مولکول‌های محلول در چربی، در ناحیه چربی‌دست غشای سلولی قرار می‌گیرند. فعالیت بیولوژیکی هر یک از مشتقات ویتامین E، معیار توانایی یا استفاده کارکردی آن است (Mène-Saffrane, 2010). ویتامین E تنها در موجودات فتوسنتز کننده و برخی از سیانوبکتری‌ها تولید می‌شود؛ بنابراین منبع تامین آن در انسان، مصرف گیاهان است (Arango & Heise, 1998). توکوفرول در حفاظت دستگاه فتوسنتزی در برابر خسارت اکسیداتیو و حفاظت اسیدهای چرب غیراشباع از پروکسیداسیون لیپید در غشاهای کلروپلاست نقش دارد (Hugly & Somerville, 1992). ویتامین E عملکردهای حیاتی متعددی شامل دفع فیزیکی اکسیژن منفرد، پاکسازی شیمیایی گونه‌های فعال اکسیژن متعدد و رادیکال‌های آزاد را در انسان انجام می‌دهد؛ همچنین یک آنتی اکسیدان قطع کننده زنجیره برای حفاظت اسیدهای چرب غیراشباع از پراکسیداسیون لیپید است (Fryer Bramley et al., 2000).

واحد ساختاری اصلی ویتامین E شامل یک حلقه کرومأنول قطبی (۲-متیل-۶-هیدروکسی کرومأنول) مشتق شده از مسیر شیکیمات و یک زنجیره جانبی هیدروفویک ۱۶ کربنه از گروه پرنیل است که از مسیر غیر موالونات مستقر در پلاستید مشتق می‌شود (Spitzer & Schweigert, 2007). بر پایه تعداد و موقعیت گروه متیل موجود در گروه سر کرومأنول، چهار فرم متفاوت از توکوفرول‌ها (α -tocopherols) (α ، β ، γ ، δ)

^۱ p-hydroxyphenylpyruvate dioxygenase

^۲ Geranylgeranyl pyrophosphate

^۳ Geranylgeranyl pyrophosphate synthase

^۴ Methyl erythritol phosphate

^۵ Phytol pyrophosphate

^۶ Geranylgeranyl reductase

^۷ Phytol kinase

^۸ Phytol phosphate kinase

^۹ Homogentisate phytoltransferase

^{۱۰} Methyltransferase

الگو در آزمایشات PCR اثر می‌گذارد، برای محاسبه محتوای GC از برنامه آنلاین Science Buddies استفاده شد (<https://www.sciencebuddies.org>).

همرديفي تواليها و روابط فيلوژنتيكي

جستجو به منظور شناسایی توالي پروتئين‌های مشابه با استفاده از برنامه BLASTP انجام شد و پروتئین‌های با همسانی بالا انتخاب شدند و همردیفي چندگانه به وسیله برنامه ClustalW2 انجام شد (<http://www.ebi.ac.uk/Tools/msa/clustalw2/>)

برای پی‌بردن به رابطه فيلوژنتيكي بین پروتئين‌های مورد نظر و پروتئين‌های مشابه، ترسیم درخت فيلوژنتيكي با استفاده از برنامه MEGA 7 و روش Neighbor joining انجام شد (Kumar et al., 2016).

خصوصيات پروتئين‌ها

برای تعیین نقش مولکولی پروتئين‌ها و شناسایی دمین‌های حفاظت‌شده، از برنامه آنلاین InterProScan استفاده شد که منبع تجزیه و تحلیل عملکردی توالي پروتئين با طبقه‌بندی آن‌ها به خانواده‌ها و پیش‌بینی حضور دمین‌ها است. با استفاده از این برنامه، وجود دمین‌های عملکردی پروتئين‌های مورد نظر و همچنین عملکرد مولکولی و فرایند بیولوژيکی پروتئين شدند پیش‌بینی همچنین

(<https://www.ebi.ac.uk/interpro>). جستجو توالي پروتئينی موردنظر در کتابخانه متیف MOTIF سایت GenomeNet⁷، با استفاده از ابزار Search MOTIF⁸، با استفاده از ابزار انجام شد (<https://www.genome.jp/tools/motif/>) برای تعیین خصوصيات ساختار اولیه پروتئين‌ها از ابزار ProtParam سایت ExPASy⁹ استفاده شد تا نقطه ایزوالکتریک¹⁰ وزن مولکولی¹¹، فراوانی اسیدهای آمینه، تعداد اسیدآمینه با بار مثبت و منفی، میانگین آب‌گریزی کل¹² و شاخص ناپایداری¹³ بررسی شود (<https://web.expasy.org/protparam>)

توکوفرول سایکلاز (TC) به ترتیب به دلتا توکوفرول و گاما توکوفرول تبدیل می‌شوند (شکل ۱). این ایزوفرم‌ها توسط گاما توکوفرول متیل ترانسفراز (TMT)¹⁴ متیله می‌شوند و به ترتیب به بتا توکوفرول و Mene-Saffrane (& آلفا توکوفرول تبدیل می‌شوند (Pellaud, 2017).

با توجه به تاثیر توکوفرول در گیاه و انسان، بررسی و مطالعه ژن‌های مرتبط با بیوسنتر توکوفرول اهمیت خاصی پیدا می‌کند. در حال حاضر در پایگاه NCBI هیچ توالي نوکلئوتیدی از شش ژن مذکور در این مسیر برای گیاه عدس به ثبت نرسیده است که می‌توان پس از شناسایی ژن‌ها، آن‌ها را برای اهداف اصلاحی عدس از طریق بهنژادی سنتی یا روش‌های نوین زیست فناوری به کار برد.

مواد و روش‌ها

سرهمندی خوانش‌ها و شناسایی بیوانفورماتیکی ژن‌ها

در این پژوهش، برای شناسایی شش ژن HPT/VTE2، VTE5، HPPD/PDS1¹⁵، TMT/VTE4¹⁶، TC/VTE1¹⁷، VTE3/APG1/IE35¹⁸، به جستجو در کتابخانه¹⁹ گیاه عدس موجود در پایگاه اطلاعاتی SRA²⁰NCBI²¹ پرداخته شد (<https://www.ncbi.nlm.nih.gov/sra/>) با استفاده از برنامه Codon Code Aligner v.5.0.1 خوانش‌هائصورت گرفت و نهایتاً ترجمه توالي توافقی خروجی این نرم‌افزار با استفاده از برنامه آنلاین ORF finder (<https://www.ncbi.nlm.nih.gov/orffinder/>) انجام شد. صحت ژن‌های شناسایی شده و کامل بودن توالي ORF آن‌ها با استفاده از برنامه BLASTP مورد بررسی قرار گرفت. از آنجا که محتوای GC بر پایداری DNA، ساختار ثانویه mRNA و بر دمای اتصال

¹ Tocopherol cyclase

² γ-tocopherol methyl transferase

³ Express Sequence Tag; EST

⁴ National Center for Biotechnology Information

⁵ Sequence Read Archive

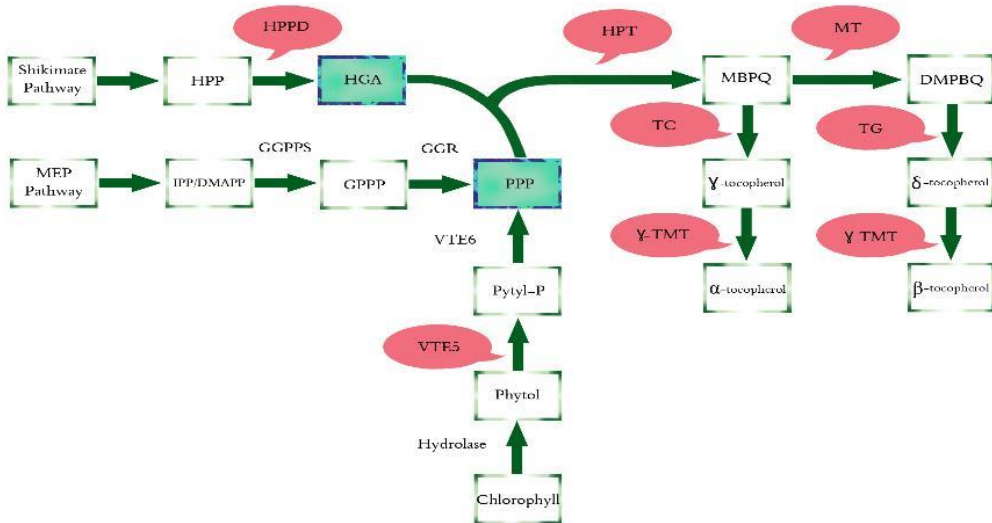
⁶ Reads

⁷ Isoelectric point; pI

⁸ Molecular Weight; Mw

⁹ Grand average of hydropathicity; GRAVY

¹⁰ Instability index



شکل ۱- مسیر بیوسنتز توکوفرول در گیاهان. هموجنتیسیک اسید (HGA); گرانیل گرانیل پیروفسفات (GGPP); پیروفسفات (PPP); دی متیل آلیل پیروفسفات (DMAAPP); ۲،۳-دی متیل-۶-فایتل-۱،۴-بنزوکوئینول (DMPBQ); ۴-هیدروکسی فنیل پیرووات دی اکسیزناز (HPPD); ایزونپنتیل پیروفسفات (IPP); ۲-متیل-۶-فایتل-۱،۴-بنزوکوئینول (MPBQ); ۲-هیدروکسی فنیل پیرووات ردوکتاز (GGR); هموجنتیسیک اسید فایتل ترانسفراز (HPT) یا VTE2; گرانیل گرانیل پیروفسفات سنتاز (GGPPS); گاما توکوفرول متیل ترانسفراز (γ -TMT) یا VTE4; متیل ترانسفراز (MT) یا Mene-Saffrane and (VTE3); توکوفرول سایکلاز (TC) یا VTE1; فیتول کیناز (VTE5); فایتل فسفات کیناز (VTE6) (Mene-Saffrane and Pellaud, 2017).

Figure 1. Tocopherol biosynthesis pathway in plants. homogentisic acid (HGA); geranylgeranyl pyrophosphate (GGPP); phytol pyrophosphate (PPP); dimethylallyl pyrophosphate (DMAAPP); 2,3-dimethyl-6-phytyl-1,4 benzoquinol (DMPBQ); 4-hydroxyphenylpyruvate (HPP); isopentenyl pyrophosphate (IPP); 2-methyl-6-phytyl-1,4-benzoquinol (MPBQ); p-hydroxyphenylpyruvate dioxygenase (HPPD); homogentisic acid Phytol transferase (HPT/VTE2); Geranylgeranyl pyrophosphate synthase (GGPPS); geranylgeranyl reductase (GGR); γ -tocopherol methyltransferase (γ -TMT /VTE4); methyltransferase (MT/VTE3); tocopherol cyclase (TC/VTE1); phytol kinase (VTE5); phytol phosphate kinase (VTE6) (Mene-Saffrane and Pellaud, 2017).

موجود در پایگاه اطلاعاتی SRA NCBI مشخص شد که تعداد Read‌ها برای هر ژن به این صورت است: (VTE2) HPT: ۷۹۴، (PDS1) HPPD: ۸۲۳، (VTE5) ۷۶۲، (APG1/IE35) VTE3: ۲۹۹۰، (VTE1) TC: ۱۸۸۷، (VTE4) γ -TMT: ۲۶۱۱، (VTE4) γ -TMT: ۷۶۲. توالی توافقی حاصل از نرمافزار ORF finder در شش قالب خوانش آشکار برای هر شش ژن ترجمه شد و بلندترین ORF با ویژگی‌های زیر برای هر یک از آن‌ها انتخاب شد (جدول ۱). به طور مثال، توالی کد کننده ژن HPPD از نوکلئوتید ۱۲۶ تا ۱۴۳۳ به طول ۱۳۰۸ در رشتۀ مثبت شناسایی شدند و طول پروتئین پیش‌بینی شده آن ۴۳۵ اسید‌آمینه است. محتوای GC را می‌توان در طراحی پرایمر برای واکنش‌های PCR، طراحی

از آن‌جا که برنامه آنلاین DeepLoc-1.0 یک الگوریتم پیش‌بینی را با تکیه بر اطلاعات توالی ارائه می‌دهد و تمام توالی پروتئینی را پردازش می‌کند و مناطق پروتئینی مهم برای محل قرارگیری درون سلولی^۱ را شناسایی می‌کند، جهت پیش‌بینی مکانیزم محل قرارگیری پروتئین‌های یوکاریوٹی درون سلول؛ از این برنامه استفاده شد .(<http://www.cbs.dtu.dk/services/DeepLoc>)

نتایج و بحث

در نتیجه جستجو در کتابخانه Reads گیاه عدس

¹ protein subcellular localization

استفاده کرد.

پیش‌بینی ساختار سنجاق سری برای mRNA و ...

جدول ۱- ویژگی های ORF های انتخاب شده و محتوای GC آن ها

Table 1. Features of selected ORFs and their GC content.

Gene	Label	Strand	Frame	Start	Stop	Length (nt aa)	% G~C content
<i>HPPD</i>	ORF5	+	3	126	1433	1308 435	49.7
<i>VTE5</i>	ORF3	+	3	84	1010	927 308	42.1
<i>HPT</i>	ORF2	+	2	311	1396	1086 361	40.9
<i>VTE3</i>	ORF1	+	1	241	1278	1038 345	43.4
<i>TC</i>	ORF1	+	1	109	1587	1479 492	44
γ - <i>TMT</i>	ORF4	+	3	15	1070	1056 351	44.4

توالی پروتئین‌ها با برنامه Clustal Omega نشان داد که هومولوژی بالایی بین پروتئین‌های پیش‌بینی شده و ده پروتئین مشابه دیگر از زن‌های شناسایی شده در خانواده حیوبات وجود دارد (شکل ۲).

جستجوی توالی پروتئین‌های ترجمه شده شش ژن مسیر بیوسنتزی توکوفرول در مقابل مجموعه کلیوتیدی (n/r) Non-redundant Hit توانست ۱۰۰ نشان دهد. هم‌دیفی چندگانه را در نتیجه BLASTP نشان دهد.

270	HPPD. <i>Bn</i>	PLDYGIRRLDHAVGNVPELGPALTYLAGFTGFHQFAEFTADDVGTAESGLNSAVLANNDE
274	HPPD. <i>Gm</i>	ELDYGIRRLDHAVGNVPELAPAVRYLKGSFGFHFHEAFTAEDVGTSESGLNSVVLANNSE
271	HPPD. <i>Ls</i>	DLDYGIRRLDHAVGNVPELAPAVDYVKSITGFHFHEAFTAEDVGTSESGLNSVVLACNSE
290	HPPD. <i>Cm</i>	PLDFGIRRLDHAVGNVPELGPIVSYLKGFTHFHFHEAFTAEDVGTSESGLNSVVLANNEE
347	HPPD. <i>Zj</i>	PLDFGIRRLDHAVGNVPELGPIVSYLKGFTHFHFHEAFTAEDVGTSDSGLNSVVLANNDE
259	HPPD. <i>Mt</i>	SLDFGIRQLDHANGNVPSSALKYIKQFTGFHDFAEFTAEDV---ESGLNAVALANNDE
265	HPPD. <i>Ca</i>	SIDFGIQRLDHAVGNVPELSSALNYYKQFTGFHFHEAFTAEDVGTSESGLNSVVLANNEE
266	HPPD. <i>Lc</i>	SLDFGIRRLDHAVGNVPELSSAIKYLKETFGHFHFHEAFTAEDVGTAEESGLNSAVLANNEE
321	HPPD. <i>Tp</i>	SLDFGIRRLDHAVGNVPELSSALKYLKETFGHFHFHEAFTAEDVGTSESGLNSVVLANNEE
268	HPPD. <i>Ts</i>	SLDFGIRRLDHAVGNVPELSSALKYLKETFGHFHFHEAFTAEDVGTSESGLNSVVLANNEE

Glyoxa		
339	HPPD _{.Ac}	MVLLPMNEPVFGTKRKSQIQTYLEHNEGQGVQHLALMSEDIFRTLREMRSSVGGFQFM
330	HPPD _{.Bn}	MVLLPVNEPVHGTRKSQIQTYLEHNEGAGLQHLALMSEDIFRTLREMRKRSVGFFDFM
334	HPPD _{.Gm}	TVLLPLNEPVYGTKRKSQIQTYLEHNEGAGVQHLALVTHDIFRTLREMRKRSFLGGFEFM
331	HPPD _{.Ls}	MVLIPMNEPVYGTKRKSQIQTYLEHNEGAGVQHLALASEDIFRTLREMRKRSIGGFEFM
350	HPPD _{.Cm}	MVLLPLNEPVYGTKRKSQIQTYLEHNEGAGVQHLALVSEDIFRTLREMRKRSVGVGGFEFM
407	HPPD _{.Zj}	MVLLPLNEPVFGTKRKSQIQTYLEHNEGAGLQHLALVSEDIFRTLREMRSRSSWIGGEFM
319	HPPD _{.Mt}	TVLLPLCEPVYGTKRKSTIETYLEHNEGAGFQHLALASEDIFKTLREMRKRSVGVGGFEFM
325	HPPD _{.Ca}	TVLLPMNEPVYGTKRKSQIQTYLEHNEGAGLQHLALMSNDIFRTLREMRKRSIGGFEFM
326	HPPD _{.Lc}	TVLLPINEPVYGTKRKSQIQTYLEHNEGAGLQHLALVSEDIFRTLREMRKRSVGVGGFEFM
381	HPPD _{.Tp}	TVLFPMMNEPVYGTKRKSQIQTYLEHNEGAGLQHLALKSEDIFRTLREMRKRSVGVGGFEFM
328	HPPD _{.Ts}	TVLFPMMNEPVYGTKRKSQIQTYLEHNEGAGLQHLALKSEDIFRTLREMRKRSVGVGGFEFM

***** . * . * . * . * . * . * . * . * . * . * . * . * . * . * . * . * . * .

399	HPPD. <i>Ac</i>	PSPPPPTYRNLKNRAGDVLTDEQIKECEELGILVDRDDQGTLQIFTKPVGDRPTLFIEI
390	HPPD. <i>Bn</i>	PSPPPPTYYKNLKKRIGDVLSDEQIKECEELGILVDRDDQGTLQIFTKPGIDRPTIFIEI
394	HPPD. <i>Gm</i>	PSPPPPTYYANLNHRAADVLTVQDQGTLQIFTKPVGDRPTIFIXI
391	HPPD. <i>Ls</i>	PSPPPPTYYRNLKNRAGDVLTDEQIKECEELGILVDRDDQGTLQIFTKPVGDRPTIFIEI
410	HPPD. <i>Cm</i>	PSPPPTYYKNLKSRAGDVLTDQIKECEELGILVDRDDQGTLQIFTKPVGDRPTIFIEI
467	HPPD. <i>Zj</i>	PSPPPTYYKNLKNRAGDVLTDEQIKECEELGILVDRDDQGTLQIFTKPVGDRPTIFIEI
379	HPPD. <i>Mt</i>	PSPPPPTYYRNLKNRAGDVLTDEQIKECEELGILVDRDDQGTLQIFTKPGIDRPTIFIEI
385	HPPD. <i>Ca</i>	PSPPPTYYSNLKRVGDLNDEQIKECEELGILVDKDDQGTLQIFTKPVGDRPTIFIEI
386	HPPD. <i>Lc</i>	PSPPPTYYRNLKNRAGDVLTDEQIKECEELGILVDRDDQGTLQIFTKPVGDRPTIFIEI
441	HPPD. <i>Tp</i>	PSPPPTYYRNLKNRAGDVLTDEQIKECEELGILVDRDDQGTLQIFTKPGIDRPTIFIEI
388	HPPD. <i>Ts</i>	PSPPPTYYRNLKNRAGDVLTDEQIKECEELGILVDRDDQGTLQIFTKPGIDRPTIFIEI

453	HPPD. <i>Ac</i>	IQRVGCLKDEEGKAYQKGGCGGFGKGNFSELFKSIEEYEKTLERVKRITEPATA-
440	HPPD. <i>Bn</i>	IQRVGCMKKDDEEGKVYQSGGCGGFGKGNFSELFKSIEEYEKTLREAKQLVG-----
443	HPPD. <i>Gm</i>	IQRIGCMVDEEKGVYQKAGCGGFKGKGNFSELFKSIEEYEKTLREAKRTA-----
446	HPPD. <i>Ls</i>	IQRVGCMVKDDEGKVYQKAGCGGFKGKGNFSELFKSIEEYEKTLARTEETPTAAA
453	HPPD. <i>Cm</i>	IQRVGCMKKNEEGKEYQKGGCGGFGKGNFSELFKSIEEYEKTLREAKRVAEPTHSV
521	HPPD. <i>Zj</i>	IQRVGCLMLDEEGKVYQKGGCGGFGKGNFSELFKSIEEYEKTLREAKQNAEESDA--
428	HPPD. <i>Mt</i>	IQRVGCLMLDEEGKEYQKGGCGGFGKGNFSELFKSIEEYEKTLERRTA-----
434	HPPD. <i>Ca</i>	IQRVGCLMLDEEGKEYQKGGCGGFGKGNFSELFKSIEEYEKTLERRTA-----
435	HPPD. <i>Lc</i>	IQRVGCLMLDEEGKEYQKGGCGGFGKGNFSELFKSIEEYEKTLERRTA-----
490	HPPD. <i>Tp</i>	IQRVGCLMLDEEGKEYQKGGCGGFGKGNFSELFKSIEEYEKTLERKRAA-----
437	HPPD. <i>Ts</i>	IQRVGCLMLDEEGKEYQKGGCGGFGKGNFSELFKSIEEYEKTLERKRTA-----

— * — * — * —

148	VTE5.Bn	RNVISQRSLRKLVHILSGLLFVLSWPISASKEARYFTALVPLVNCVRLVVNGLSISPNS
158	VTE5.Pa	RNLIKQSLSRKLVHILSGLLFTLWSWPIFESTSTSARYFALLVPLVNCLRLLVHGSLVRDE
159	VTE5.Rc	RNLQQQSLSRKLVHISSGLLFVLSWPIFESTSTEARYFASVVLFLNGRLRLLSGLSLVPNE
150	VTE5.Dz	KQLIQQSLSRKLVHILSGLLFALSWPISNSYEARYFASLVLPLNCLRLVHIGSLSLADDQ
169	VTE5.Sl	RKLIEQNLSRKLVHILSGLLFMAMSWPISVSGRARYFAAVVPLTNCLRLVHIGSLLATDE
76	VTE5.Gs	RAPPSSGLSRKLVHILSGLLFVLSWPISNSPKARYFAAFVPLVNCLRLLVNGLSSLASDE
152	VTE5.Va	RNLHQGSLRKLVHILSGLLFLVSWPISNSPKARYFAAFVPLVNCLRLLVNGLSSLASDE
152	VTE5.Vr	RNLHQGSLRKLVHILSGLLFLVSWPISNSPKARYFAAFVPLVNCLRLLVNGLSSLASDE
158	VTE5.Ca	KNLNQGSLRKLVHILSGLLFLVSWPISNSPKARYFAAFVPLVNFLRLLVNGLSSLSDQ
157	VET5.Lc	RNFIDQGSLRKLVHILSGLLFLVSWPISNSSEARYFAAFVPLVNFLRLLVNGLSSLVSD
155	VTE5.Mt	RNVIDQGSLRKLVHILSGLLFLVSWPISNSLEARYFAAFVPLVNFLRLLVNGLSSLVTDP

208	VTE5.Bn	TLIKSVTREGRPEELLRGPLFYVALLVSAVFFWRDSPIGMISLAMMCGGDGIADIMGRK
218	VTE5.Pa	GLIKSVTRDGNPEELLRGPLYYVLVLILCALFFWRESPVGVISMSMMCDDGVADIMGRK
219	VTE5.Rc	GLIKSVTREGNPKELLRGPLYYVLILSLALVFWRRESPVGVISLAMMCGGDGVADIMGRK
210	VTE5.Dz	GLIKSVTREGNPKELLRGPLYYVLILCALVFWRRESPTGVISLAMMCGGDGVADIMGRK
229	VTE5.SI	GLVKSVTREGPKPEELLRGPLYYVVLILSALVFWRRESPVGVISLAMMCGGDGIADIVGRR
136	VTE5.Gs	GLIKSVTREGDPLELLRGPLYYVVLILFCALVFWRRESPVGVISLAMMCAGDGIADIIGR
212	VTE5.Va	GLIKSLTREGDPQEELLKGPLYYVVLILFCALVFWRRESPIGVVSGLMMCDDGVADIIGRK
212	VTE5.Vr	GLIKSLTREGDPQEELLKGPLYYVVLILFCALVFWRRESPIGVVSGLMMCAGDGVADIIGRK
218	VTE5.Ca	GLIKSVTRKGDPKELLRGPLYYVVLMLCACVFWRDSPIGVVSGLMMCDDGVADIIGRR
217	VET5.Lc	GLIKSVTRKGDPKELLRGPLYYVGLMLCACVFWRQSPVGVSGLMMCDDGVADIIGRR
215	VET5.Mt	GLIKSVTRKGDPKELLRGPLYYVGVIMSLALVFWRRESPIGVVAIAMMCAGDGVADIIGRR

268 VTE5.Bn FGSQKIPYNPRKSLAGSISMFIIFGFIISIGLYYYYSSLGYLHMNWETTFTKVAIVSMVAT
 278 VTE5.Pa FGSVKIPYNQSKSWAGLSMFLFGFLVSLGMLYYYYSALGYFQLDWSTLQRVAAVSMVAT
 279 VTE5.Rc FGSKIPYNHRKSWAGSISMVFVGFLISLGMLYYYYSILGYFNLWDMDTVQKVAFVSLVAT
 270 VTE5.Dz FGSSKLPLYNQSKSWAGSISMVFVGFFFSIMGMLYYFVSVLGYFNLWDMDTVQKVAFVSLVAT
 290 VTE5.Ls FGSCTKIPYNQSKWAGSISMVFVGFFFSIMGMLYYFVSVLGYFNLWDMDTVQKVAFVSLVAT

299	VTE5. <i>Bn</i>	LVESLPTDQIDDNVSPLATIMAAYVSFGY-
309	VTE5. <i>Pa</i>	VVESLPISEVDDNLSVPFASILAAYLSFNV-
310	VTE5. <i>Rc</i>	VVESLPTKVVDDNISVPLASMAAAYSFSL-
301	VTE5. <i>Dz</i>	VVESLPTKLVDDNISVPLATMVAAYLFSRS-
320	VTE5. <i>SI</i>	MVESLPTGMVDDNISVPLVSMVVASLAFAY-
227	VTE5. <i>Gs</i>	LVESLPTKVDDNISVPLATMVVAFFTFHH--
302	VTE5. <i>Va</i>	IVESLPIEVDDNISVPLVTMAVAFFTFH--
304	VTE5. <i>Vr</i>	VVESLPIEVDDNISVPLVTMAVAFFTFH--
309	VTE5. <i>Ca</i>	VVESLPTIDVDDNISVPLATIAVAFFTFHH-
308	VET5. <i>Lc</i>	VVESLPIEVDDNISVPLVTMALAFFVFHH-
306	VTE5. <i>Mt</i>	VVESLPIEVDDNISVPLVTMAMTFLTFHH- ***** * * * * *

شکل ۲-ب

166	HPT. <i>Me</i>	ILNALDAFYRFSRPHVTIGTALSILSVSLLAVEKLSLDSLSPFFTGVLEAVVAAFLMNIYI
169	HPT. <i>Jc</i>	VLNAIDAFYRFSRPHVTIGTALSILSVSLLAVEKLSLDSLSPFFTGVLEAVAAALMMNIYI
164	HPT. <i>Zj</i>	VKNGLDAFYRFSRPHVTIGTALSIVSVSLLAVEKLSDFSPPLFFTGVLEAVAAALFMNIYI
165	HPT. <i>Qs</i>	FKNALDAFYRFSRPHVTIGTIVSIVSVSLLAVEKLSDISPPLFFTGVLEAVVAAFLMNIYI
171	HPT. <i>Lc</i>	VKNSLDAFYRFSRPHVTIGTALSIVSVSLLAVEKLDISPLFFTGVLEAVVAAFLMNIYI
170	HPT. <i>Mt</i>	VKNSLDAFYRFSRPHVTIGTALSIVSVSLLAAEKLSDISPLFFTGVLEAVVAAFLMNIYI
178	HPT. <i>Ad</i>	VKNSLDAFYRFSRPHVTIGTALSIVSVSLLAVQKSSDISPPLFFTGVLEAVVAAFLMNIYI
166	HPT. <i>Ct</i>	VKNSLDAFYRFSRPHVTIGTALSIVSVSLLAEKLSDISMPPFTGVLEAVVAAFLMNIYI
165	HPT. <i>Vr</i>	VKNSLDAFYRFSRPHVTIGTALSIVSVSLLAVEKDISPPLFFTGVLEAVVAAFLMNIYI
95	HPT. <i>Gs</i>	VKNSLDAFYRFSRPHVTIGTALSIVSVSLLAVEKISDISPPLFFTGVLEAVVAAFLMNIYI
170	HPT. <i>Gm</i>	VKNSLDAFYRFSRPHVTIGTALSIVSVSLLAVEKDISPPLFFTGVLEAVVAAFLMNIYI

226	HPT. <i>Me</i>	VGLNQLTDIEIDKVNKPYLPLASGEYSVGIGVMIIASFSMSFWLGWVVGWSWPLFWALFV
229	HPT. <i>Jc</i>	VGLNQLSDIEIDKVNKPYLPLASGEYSTGTGVLIVTSFWIMSFWLGWVVGWSWPLFWALFV
224	HPT. <i>Zj</i>	VGLNQLYDIDIDKVNKPYLPLASGEYSVRTGIMIVSSFSIMSFFLGWIVGWSWPLFWALFV
225	HPT. <i>Qs</i>	VGLNQLSDIDIDKVNKPYLPLASGEYSVTGIVMITSFSILSFWSFLWGIVGWSWPLFWALFV
231	HPT. <i>Lc</i>	VGLNQLSDVEIDKINKPYLPLASGEYSFATGAIIIVASSILSFWLGWIVTGSGLLCALFT
230	HPT. <i>Mt</i>	VGLNQLSDVEIDKINKPYLPLASGEYSFATGAIIIVSSSILSFWLAWIVGWSWPLFWALFV
238	HPT. <i>Ad</i>	VGLNQLSDIEIDKINKPYLPLASGEYSFATGAIIIVSSSILSFWLAWIVGWSWPLFWALFV
226	HPT. <i>Ct</i>	VGLNQLSDVEIDKINKPYLPLASGEYSIGTGTIVASFSLSSFWLGIVGWSWPLFWALFV
225	HPT. <i>Vr</i>	VGLNQLSDVEIDKINKPYLPLASGEYSFGTGVIAVSSFSILSFWSLGIVGWSWPLFWALFV
155	HPT. <i>Gs</i>	VGLNQLSDVEIDKINKPYLPLASGEYSFETGVTIVASFSLSFWSLGWVVGWSWPLFWALFV
230	HPT. <i>Gm</i>	VGSNQLDFEIVYKINKPYLPLASGEYSFETGVTIDASFSLSFWSLGWVVGWSWPLFWALFV
		*** *** ***.***** * * * * * * * * * * * * * * * *

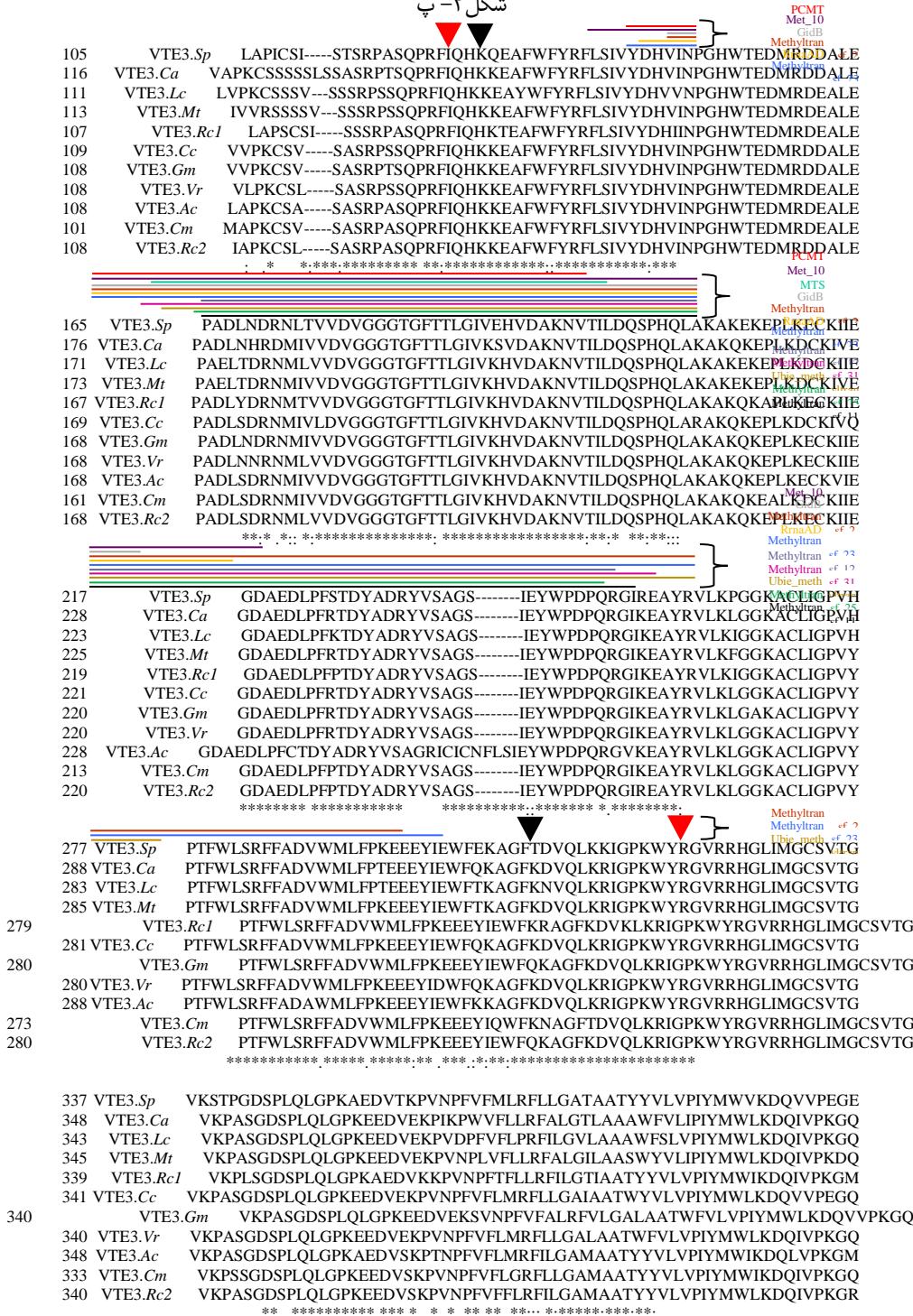
286	HPT. <i>Me</i>	SFVLGTAYSINLPLLRWKRAFVAAMCILAVRAVIVQLAFLHMQTHVYGRPAVFSRPLI
289	HPT. <i>Jc</i>	SFVLGTAYSINLPLLRWKRSAFIAAMCILAVRAVIVQLAFLHMQTHVYRRAAVFSRPLI
284	HPT. <i>Zj</i>	SFMLCTAYSISKPLPMLRWKRFAVLAAMCILAVRAVIVQLAFLHMQMHMVYKRPAAFSRPLI
285	HPT. <i>Qs</i>	SFLLLGTAYSINVPLLRWKRFALVAAMCILAVRAVIVQLAFLHMQTHVYKRPVVFSSRPLI
291	HPT. <i>Lc</i>	SFVLGTAYSINVPLLRWKRFALLAALCILSVRAVIVQLAFLHMQTHVYKRPVVFSSRPLI
290	HPT. <i>Mt</i>	SFVLGTAYSINVPLLRWKRFALVAAMCILSVRAVIVQLAFLHMQTHVYKRPVVFSSRPLI
298	HPT. <i>Ad</i>	SFVLGTAYSIDVPLLRWKRFALVAAMCILAVRAVIVQLAFLHMQTHVYKRPVVFSSRPLI
286	HPT. <i>Ct</i>	SFVLGTAYSINVPLLRWKRFALVAAMCILAVRAVIVQLAFLHMQTHVYKRPVVFSSRPLI
285	HPT. <i>Vr</i>	SFVLGTAYSINVPLLRWKRFALVAAMCILAVRAVIVQLAFLHMQTHVYKRPVVFSSRPLI
215	HPT. <i>Gs</i>	SFVLGTAYSINVPLLRWKRFALVAAMCILAVRAVIVQLAFLHMQTHVYKRPVVFSSRPLI
290	HPT. <i>Gm</i>	JEVLGTAYSINVPLLRWKRFALVAAMCILAVRAVIVQLAFLHMQTHVYKRPVVFSSRPLI

345	HPT. <i>Me</i>	FATAFMSFFSVVIALFKDIPDIEGDKIFGIRSFVTRLGQERVFWT-CISLLEIAYGVAIL
348	HPT. <i>Jc</i>	FATAFMSFFSVVIALFKDIPDIEGDKIFGIQSFTVRLGQERVFWI-CISLLEIAYGVAIL
343	HPT. <i>Zj</i>	FATAFMSFFSVVIALFKDIPDIDGDKIYGIQSFTVRLGQKRVFWI-CISLLEMAYGVAIM
344	HPT. <i>Qs</i>	FATAFMSFFSVVIALFKDIPDIDGDKIYGIQSFSVRLGQQR VFWI-CISLLEMAYTVALL
351	HPT. <i>Lc</i>	FATAFMSFFSVVIALFKDIPDIEGDRIFGIQSFSSVRLGQKPWFILCLPFLIELAYGVALV
349	HPT. <i>Mt</i>	FATAFMSFFSVVIALFKDIPDIEGDKIFGIQSFSSVRLGQKRVFWI-CVTLLIELAYGVSLV
357	HPT. <i>Ad</i>	FATAFMSFFSVVIALFKDIPDIEGDRIFGIQSFSSVRLGQQR VFWI-CVSLLVEAYGVALM
345	HPT. <i>Ct</i>	FATAFMSFFSVVIALFKDIPDIEGDKIFGIQSFSSVRLGQKRVFWI-CVSLLIEAYGVALM
344	HPT. <i>Vr</i>	FATAFMSFFSVVIALFKDIPDIEGDKVFGIQSFSSVRLGQKPWFWT-CVTLLIEAYGVALL
274	HPT. <i>Gs</i>	FATAFMSFFSVVIALFKDIPDIEGDKVFGIQSFSSVRLGQKPWFWT-CVTLLIEAYGVALL
349	HPT. <i>Gm</i>	FATAFMSFFSVVIALFKDIPDIEGDKVFGIQSFSSVRLSQKPWFWT-CVTLLIEAYGVALL

405 HPT.*Me* VGAASSHTWSKCITVLGHAILASILWNRAKSVDLKSKAITSYMFIFIWKLYAEYLLIPL
 408 HPT.*Jc* VGAASSYTWSKCVTVGHAILEALAWNRAKSVDLKSKAITSYMFIFIWKLYAEYLLIPL
 403 HPT.*Zj* VGASSGYFWSKUITVLGHIILASILWNRQAKSVDLNSKAITSYMFIFIWKLYAEYLLIPL
 404 HPT.*Qs* VGIASSLWSKLLTVVGHTILASVLWNRAKSVDLKSDAITSYMFIFIWKLYVEYLLIPL
 361 HPT.*Lc* VGVNIFFPME-----
 409 HPT.*Mt* VGATSSCLWSKIVTSLGHAVLASILFHNAKSVDLKSASITSYMFIFIWKLYAEYFLIPL
 417 HPT.*Ad* VGAAPCLWSKUITVGVHAAMALILWFRAKSVDFKNKSASITSYMFIFIWKLYAEYLLIPL
 405 HPT.*Ct* VGAAPCLWSKUITGAGHAVI ASL WVO A KSVDLNTKA SITSYMFIFIWKLYAEYFLIPL

404 HPT.Vr VGASSPCLWSKIFTGLGHAVLAAILWYQAKSVDLKSASITSFYMFIWKLHYAEYLLIPF
 299 HPT.G_s VGAASPCLWSKIFTGARRVVVILIN-----
 409 HPT.Gm VGAASPCLWSKIFTGLGHAVLASILWFHAKSVDLKSASITSFYMFIWKLHYAEYLLIPF

شکل - ۲ - پ



شکل - ۲ - ت

94 TC.Bn SIPRASASISTTNSDSSPSGNAINSEASIVKPVYVPTPPNRERLTPHSGYHFDGTARKFF
 84 TC.Mt --I-----AHNSHTEQQOSQSSKPIYSPTPPNRQLRTPHSGYHFDGTARKFF
 96 TC.Lc --ALNSV---S---SHTDPIEDNQQSQSPKPIYSPTPPNRQLRTPHSGYHFDGTARKFF
 92 TC.Tp --A--H---N---SHTDPIQDKQSQSSKPIYSPTPPNRQLRTPHSGYHFDGTARKFF
 56 TC.Ad --ATP-----KARPILCTAKTQSQQPTPPPPTYSPTPPNRQLRTPHSG-----SARKFF
 97 TC.Vr --AHASV---SDTVPLQNT-PQTTPSSLTVKPTYSPTPPNRDLRTPHSGYHFDGTARKFF
 85 TC.Gs --ARSFF---SDTVPIDNK-EKEQLVTSVAKPTYSPTPPNRDLRTPHSGYHFDGTRRKFF
 88 TC.Cc --VRSSV---SDTVPIDKN-QKEQ---LKPNYSPTPPNRDLRTPHSGYHFDGTARKFF

Tocopher		
154	TC. <i>Bn</i>	EGWYFRVSIPEKRESFCFMYSVENPAFRKRLSPLEVGLYGPRFTGVGAQILGANDKYLCQ
144	TC. <i>Mt</i>	EGWYFKVSIPEKRQSFCFMYSVENPAFRKELSTLEAQQGPRFTGVGAQILGADDKYICQ
156	TC. <i>Lc</i>	EGWYFKVSIPEKRQSFCFMYSVENPAFRKQLTTFELAQYGPRTGVGAQILGADDKYICQ
152	TC. <i>Tp</i>	EGWYFKVSIPERRQSFCFMYSVENPAFPKQLTTFELAQYGPRTGVGAQILGADDKYICQ
116	TC. <i>Ad</i>	EGWYFKVSIPERRQSFCFMYSVESPSFRKLTPFEVTQYGPRTGVGAQILGADDKYICQ
157	TC. <i>Vr</i>	EGWYFRVSIPERRQSFCFMYSVESPSFRKPITLEQLQYGPRTGVGAQILGADDKYICQ
145	TC. <i>Gs</i>	EGWYFKLISIPERRQSFCFMYSVESPSFRKPITLEQAQYGPRTGVGAQILGADDKYICQ
148	TC. <i>Cc</i>	EGWYFKVSIPERRQSFCFMYSVESPSFRKPITLEAQFGSRTGVGAQILGADDKYICQ
167	TC. <i>Mn</i>	EGWYFKVSIPETKQSFCFMYSVENPAFRKLSPLEVQAQHGPRTGVGAQILGAYDKYICQ
156	TC. <i>Pp</i>	EGWYFKVSIPERRQSFCFMYSVENPAFRKKLTPLEVAQNGPRTSTGVGAQILGAYDKYICQ
166	TC. <i>Jc</i>	EGWYFKVSIPERKQSFCFMYSLENPAFRKKLTPFEVAQHGPRTSTGVGAQILGAYDKYICQ

Tocopher		.* *** * * ****	* * .*. *. *** .*.*** * *
274	TC. <i>Bn</i>	DGRTDYAETVKSARWEYSTRPVYWGWDVGTKQKSTAGWPAFPVFEPHWQICMAGGLSTG	
264	TC. <i>Mt</i>	DGRSDYVETVKTARWEYSTRPVYWGWDVGSTQKSTAGWLAAFPVFEPHWQICMAGGLSTG	
276	TC. <i>Lc</i>	DGRSNYVETVKTARWEYSTRPVYWGWDVGSTQKSTAGWLAAFPVFEPHWQICMGGGLSTG	
272	TC. <i>Tp</i>	DGRSNYVETVKTARWEYSTRPVYWGWDVGSTQKSTAGWLAAFPVFEPHWQICMAGGLSTG	
236	TC. <i>Ad</i>	DRRSNYVETVETRARWEYSTRPVYWGNGVSAQKSTAGWLAAFPVFEPHWQICMAGGLSTG	
277	TC. <i>Vr</i>	DGRSDYVETVKTARWEYSTRPVYWGWDVGSTQKSTAGWLAAFPVFEPHWQICMAGGLSTG	
265	TC. <i>Gs</i>	DGRSNYVETVKTARWEYSTRPVYWGWDVGSTQKSTAGWLAAFPVFEPHWQICMAGGLSTG	
268	TC. <i>Cc</i>	DGRSDYVETVKTARWEYSTLPVYWGWDVGSTQKSTAGWLAAFPVFEPHWQICMAAGLSTG	
287	TC. <i>Mn</i>	DGRSDYDVDDVVKTARWEYSTRPVFGWGDVGSKQKSTAGWLAAFPVFEPHWQICMAGGLSTG	
276	TC. <i>Pp</i>	DGRSDYVETVPTARWEYSTRPVYWGWDVGSKQKSTAGWLAAFPVFEPHWQICMAGGLSTG	
286	TC. <i>Jc</i>	DGRSDYVOTVKTARWEYSTRPVYWGWDVGSKQKSTAGWLAAFPVFEPHWQICMAGGLSTG	

Tocopher		* .. * .. * .. ***** * .. * .. * .. * .. ***** * .. *****
332	TC. <i>Bn</i>	--WIEWGDERFEFRDAPSYSEKNWGGFPRKWFVQCNVFEAGKEIALTAAGGLRQLPG
322	TC. <i>Mt</i>	--WIEWDGERIEFENAPSYSEKNWGGAFPRKWFQAQCNVFEAGSGEIALTAAGGLRQIPG
334	TC. <i>Lc</i>	--WIEWDGERIEFENAPSYSEKNWGGAFPRKWFQAQCNVFEAGSGEVALTAAGGLRQIPG
332	TC. <i>Tp</i>	MCWIEWDGERIEFENAPSYSEKNWGGAFPRKWFQAQCNVFEAGSGEIALTAAGGLRQIPG
294	TC. <i>Ad</i>	--WIEWDGERIEFENAPSYSEKNWGGGFPRLWFVQCNVFEEGGSGEIALTAAGGLRQIPG
335	TC. <i>Vr</i>	--WIEWDGERIEFENAPSYSEKNWGAGFPRKWFQAQCNVFEEGGSGEIALTAAGGLRLIPG
324	TC. <i>Gs</i>	S-WIEWDGRKIEFDNAPSYSEKNWGGGFPRLWFVQCNVFEAGSGEIALTAAGGLRQIPG
326	TC. <i>Cc</i>	--WIEWDGERIEFEDNAPSYSEKNWGGAFPRKWFVQCNVFEAGSGEIALTAAGGLRQIPG
345	TC. <i>Mn</i>	--WIEWDGEREFEFENAPSYCEKNWGGAFPRKWFVQSNVFEGATGEVALTAAGGYRQIPG
334	TC. <i>Pp</i>	--WIEWGGERFEFQNAPSYSEKNWGGAFPRKWFVQCNVFEAGSGEVALTAGGLRQLPG
344	TC. <i>Ic</i>	WIEWDGEREEFKDAPSYSEKNWGACGPFKWFVQCNVFEAGSGEVALTAAGGLRQIPG

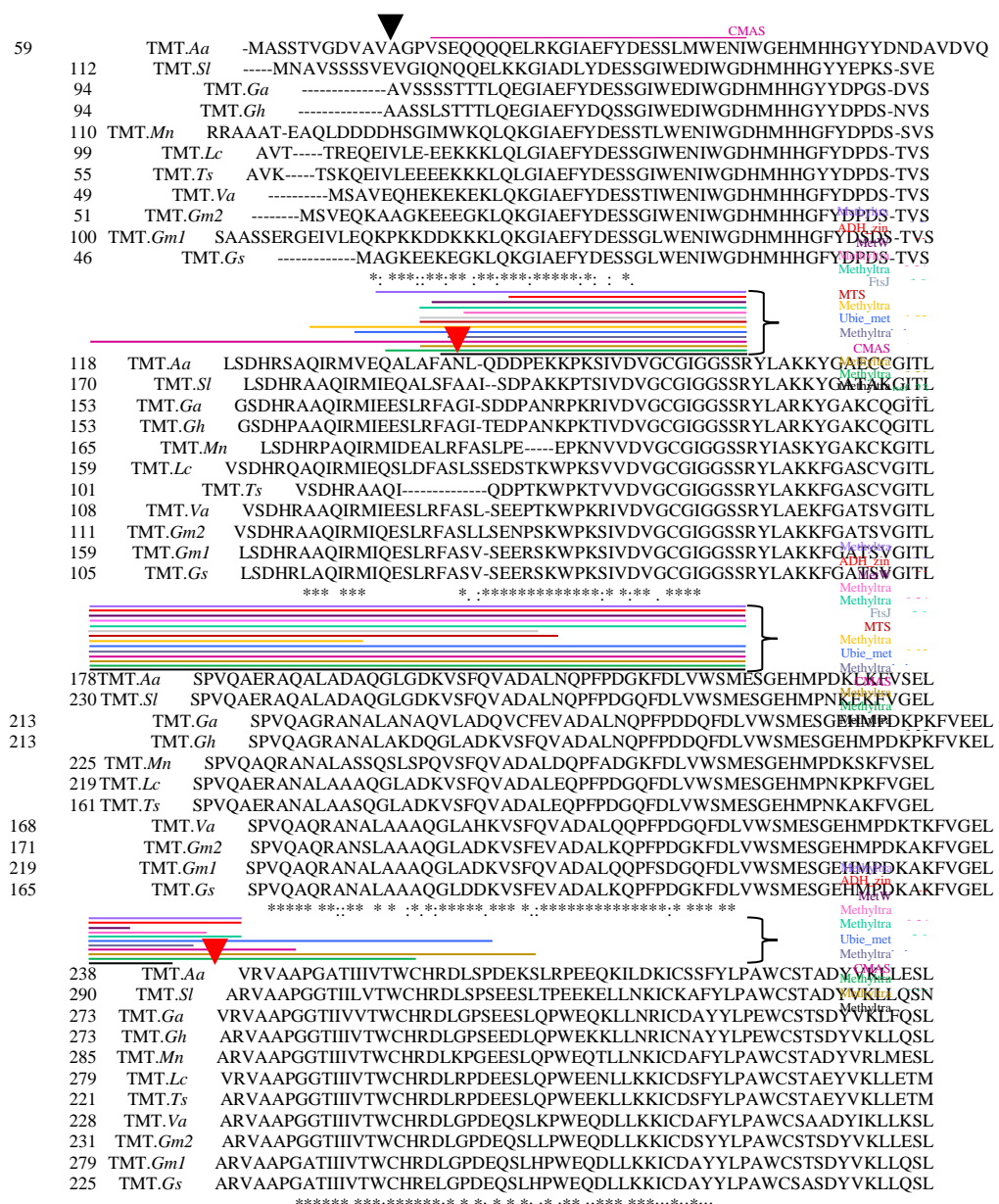
Tocopher	TC.Jc	W.I.W.D.C.E.R.E.K.D.H.B.T.S.E.M.C.A.G.Y.T.R.I.W.V.W.Q.C.N.E.G.L.E.V.A.L.T.A.G.G.E.R.Q.E.G.
381	TC.Bn	LTETFENAALVCVHYDGKLYEFVPWNGVVSWEIMSPWGTYWYMTAENETHM-----
372	TC.Mt	LTETFENAALIGHYGGKFYEFVPWNGVVSWEATWGYWFMSADNGNYVV-----
383	TC.Lc	LTETFENAALIGVHFGGKFYEFVPWNGVVTWEATWGYWFMSADNGNYVV-----
392	TC.Tp	LTETFENAALIGVHYGGKFYEFVPWNGVVSWEATWGYWFMSADNGNYVMFKLRLNLL-----
		TC.Ad ITETYENAALIGVHYAGIFYEFVPWNGVNVWEVNPNWGYWFMSADNRHV-----
384	TC.Vr	ITETYENAALIGHYDGKLYEFVPWNGVWNWEATWGYWFMSADNGKYV-----
373	TC.Gs	IAETFENAALIGHYGGIFYEFVPWNGVWNWEVTWGYWFMSADNRGRV-----
375	TC.Cc	ITETFENAALIGHYGGKFYEFVPWNGVWNWEATWGYWFMSADNGNYVV-----
394	TC.Mn	LTETFENAALVGVHYGGKFYEFVPWNGVVSWEIASWGYWHLAGENNTHM-----
383	TC.Pp	LTETFENAALIGVHYGGKFYEFVPWGYDGSWEISWPWGYSIJAENETHK-----
382	TC.Jl	LTETFENAALIGHYHECMEVTEFLHNLJWHEISWPWGYSIJAENETHK-----

395	TC.Jc	LLENFESAALIGVHYEGIFYEFVFWNGVLNEISPGWGYWHITAENKSHL-----
		.* ***.*. *.*.** * .***. ***. ***. *** :
	Tocopher	
	405	TC.Bn -----VELEARTEAGTPLRAPTSEAGLA
	395	TC.Mt -----ELEATTEDPGTTLRAPTSEAGLS
	407	TC.Lc -----VELEATAADDPGTTLRAPTSEAGLS
452	TC.Tp	MIAVGEGKQLNDLNSEHVNDCAIHTSKWDLLCATLTVELEATTDPPGTTLRAPTSEAGLS
	367	TC.Ad -----VELEARTDPPGTTLRAPTMEAGLA
	408	TC.Vr -----VELEATAEDPGTTLRAPTEEAAGLA
	397	TC.Gs -----VEIEATTEDPGTTLRAPTAEAGLA
	399	TC.Cc -----VEIEATAADDPGTALRAPTAEAGLS
	418	TC.Mn -----VELEATTQHSGTTLRAPTSEAGLA
	407	TC.Pp -----IELEATTEDSGTTLRAPTAESGLA
	417	TC.Jc -----VELKATTKDPGTTLRAPTTESGFA

Tocopherol
465 TC_Pn TACKDSCVGEELKLOIWERRYDGSKGVIMEAKSSMAAVFICGGPWFEGTWKGDTNSNTRLL

454	TC. <i>Mt</i>	QACKDTCFGILKLKLWERRYDGSKGKIIOLDVTS DMAALEVGGGPWFNTWKGKTS-TPPVL
466	TC. <i>Lc</i>	QACKDTCFGNLKLKLWERRYDGSKGKIIOLDVTS DMAALEVGGGPWFNTWKGKTS-TPPVL
511	TC. <i>Tp</i>	QACKDTCFGILKLKLWERRYDGSKGKIIOLDVTS DMAALEVGGGPWFNTWKGKTS-TPPVL
426	TC. <i>Ad</i>	PACKDTCFGILKLQIWERRYDGSKGKLILDVSSNMAALEVGGGPWFSPWKQTS-TPAVL
467	TC. <i>Vr</i>	PACKDTCFGILKLQLMWERRYDGSKGKIIILVSSNMAALEVGGGPWFNTWKGKTS-TPAAL
456	TC. <i>Gs</i>	PACKDTCFGDLKLQMWERRYDGSKGKIIOLDVSSNMAALEVGGGPWFNTWKGKTS-TPAAL
458	TC. <i>Cc</i>	PACKDTCFGILQLKLWERRYDGSKGKIIOLDVSSNMAALEVGGGPWFNTWKGKTS-TPAVL
477	TC. <i>Mn</i>	PVKCDTCAVFLKLQIWERKF DGSKGKIIOLDVTS DMAAAEVGGGPWFNTWKGKTA-TPESV
466	TC. <i>Pp</i>	PACKDTCFGELKLQIWERRYDGSKGKLILDVKS NMAAEVGGGPWFNTWKGKTS-TPELL
476	TC. <i>Jc</i>	PACKDTCFGDLKLQIWERRYDGTKGKMLDVTS DMAAEVGGGPWFNTWKGKTT-TPELL
		*****.***.***.***.***.***.***.***.***.***.***.***.***.***.*** :
490	TC. <i>Bn</i>	KRSILQVPLDLESVFGWVPFFKPPGL-
479	TC. <i>Mt</i>	SRAIGLPVDVGDLYNLFPLFKPPGL-
492	TC. <i>Lc</i>	QRAIGLPIDVESIYLNLFPLFKPPGL
536	TC. <i>Tp</i>	SRAIGLPVDVGDGYLNLFPLFKPPGL-
451	TC. <i>Ad</i>	KRALELPIDVDGFFNAVPLFKPPGL-
492	TC. <i>Vr</i>	RSA LPLIDVDSIFNLVPLFKPPGL-
481	TC. <i>Gs</i>	SRVLELPIDVEGIFNPVPLFKPPGL-
	483TC. <i>Cc</i>	SRALQLPIDVEGIFNNIPLFKPPGL-
502	TC. <i>Mn</i>	RQALNVPVDVEGFFNLAPFFKPPGL-
491	TC. <i>Pp</i>	SRALRVPVDVEGAYNLVPLFKPPGL-
501	TC. <i>Jc</i>	NRALNVPVDVEGIFNPLFLFKPPGL-

شکا ۲-ث



298	TMT. <i>Aa</i>	SLQDIKSADWSGNVAPFWPAVIKTAWSKGITSSLRGWKTIRGAMVMPPLMIEGFKKDII
350	TMT. <i>Sl</i>	SLQDIKAEDWSENVAPFWPAVIKSALTWKGFTSVLRSGWKTKAALAMPLMIEGYKKGLI
333	TMT. <i>Ga</i>	SLQDIKAGDWTEVENAPFWPAVIKSALTWKGFTSSLRSGLTKIKGALVMPMLIEGFQKGVI
333	TMT. <i>Gh</i>	SLQDIKAADWTENAVFWPAVIKSALTWKGFTSSLRSGLTKIKGALVMPMLIQGQYQKGVI
345	TMT. <i>Mn</i>	SLQDIKAADWSQYVAPFWPAVIKSALTWKGFTSSLRSGLTKIKGALVMPMLIEGFYKKDLI
339	TMT. <i>Lc</i>	SLQDIKSADWSPFVAPFWPAVIKSALTWKGFTSILRSGLTKIKGALVMPMLIEGFQKGVI
281	TMT. <i>Ts</i>	SLQDIKSADWSPFVAPFWPAVIKSALTWKGFTSILRSGLTKIKGAFAMPLMIEGFQKGVI
288	TMT. <i>Va</i>	SLQDIKSADWSPFVAPFWPAVIKSALTWNGLTSSLRSGLTKIKGALVMPMLIQGQYQKGVI
291	TMT. <i>Gm2</i>	SLQDIKSADWSPFVAPFWPAVIKSALTWNGLTSSLRSGLTKIKGALVMPMLIQGQYQKGVI
339	TMT. <i>Gm1</i>	SLQDIKSEDWSRFVAPFWPAVIKSALTWNGLTSSLRSGLTKIKGALVMPMLIQGQYQKGVI
285	TMT. <i>Gs</i>	SLQDIKSEDWSRFVAPFWPAVIKSALTWNGLTSSLRSGLKAIGALVMPMLIQGQYQKGVI

*****: *.*: *****: *.*: *.*: *.*: *.*: *.*: *

309	TMT. <i>Aa</i>	KFSIITCRKPE-----
361	TMT. <i>Sl</i>	KFAIITCRKPE-----
345	TMT. <i>Ga</i>	KFAIIACRKPAE-----
344	TMT. <i>Gh</i>	KFAIIITCRKPE-----
357	TMT. <i>Mn</i>	KFAIIITCRKPHQ-----
351	TMT. <i>Lc</i>	KFAIIITCRKPEN-----
297	TMT. <i>Ts</i>	KFSIITCRKPENQEQQ
299	TMT. <i>Va</i>	KFVIITCRKPE-----
302	TMT. <i>Gm2</i>	KFSIITCRKPE-----
350	TMT. <i>Gm1</i>	KFAIIITCRKPE-----
296	TMT. <i>Gs</i>	KFAIIITCRKPE-----

.*

شکل ۲-ج

شکل ۲- هم ردیفی چندگانه توالی پروتئین های HPPD (الف)، VTE5 (ب)، HPT (پ)، VTE3 (ت)، TC (ث) و γ -TMT (ج) در عدس با ده پروتئین مشابه دیگر توسط برنامه Clustal Omega. ستاره ها معرف اسید آمینه های حفاظت شده در بین تمام پروتئین های گیاهی هستند و شکاف ها نشان دهنده هم ردیفی بهینه بین تمام توالی های مقایسه شده می باشد. با استفاده از نرم افزار InterProScan محدوده اسید آمینه دمین ها، زیر دمین ها و خانواده های پروتئینی به ترتیب توسط مثبت های قرمز و آبی، سبز و سیاه و موتیف ها توسط خطوط رنگی با استفاده از ابزار MOTIF Search مشخص شدند.

Figure 2. Multiple sequence alignment of HPPD (a), VTE5 (b), HPT (c), VTE3 (d), TC (e) and γ -TMT (f) in lentil with ten similar proteins by Clustal Omega program. The asterisks indicate the residues conserved among all the aligned plant proteins. Gaps demonstrate optimal alignment among all compared sequences. Using the InterProScan software, the amino acid range of domains, subdomains and protein families are shown respectively by the red, blue, green and black triangles. Motifs are marked by color lines using the MOTIF Search tool.

زیر دمین Glyoxalase/fosfomycin resistance/dioxygenase از اسید آمینه ۲۱۴ تا ۳۶۸ مشخص شد (شکل ۲-الف). پروتئین VTE3 در محدوده اسید آمینه ۷۶-۲۶۷ متعلق به بالاخانواده S-adenosyl-L-methionine- dependent methyltransferase می باشد و دارای یک دمین از اسید آمینه ۷۳ تا ۲۸۲ با دو عملکرد SAM-binding و Methyltransferase type 11-2-methyltransferase MPBQ/MBSQ است (شکل ۲-ج). دامنه اسید آمینه ۶۸-۳۵۰ در پروتئین γ -TMT همانند پروتئین VTE3 مربوط به بالاخانواده S-adenosyl-L-methionine-dependent methyltransferase می باشد و این پروتئین دارای یک دمین حفاظت شده Methyltransferase type 11 از اسید آمینه ۱۳۳ تا ۲۳۱ است (شکل ۲-ج). همچنین برنامه MOTIF Search نشان داد که پروتئین های γ -TMT، VTE3، HPT، HPPD، VTE5، TC، γ -TMT و γ -TMT از اسید آمینه ۳۳-۱۳۷ و ۲۱۴-۳۷۴ مشخص شدند.

نتایج بررسی هومولوژی بین پروتئین های شناسایی شده و ده پروتئین مشابه آنها بعد از هم ردیفی با برنامه Clustal Omega و با E-value کمتر از یک نشان داد که پروتئین های پیش بینی شده HPPD، γ -TMT، VTE3، HPT، γ -TMT و γ -TMT به ترتیب هومولوژی ۱۰۰، ۹۹، ۹۹، ۸۲، ۸۰ و ۱۰۰ در گیاه عدس، درصدی با همین پروتئین ها در گیاهان نخود، نخود، یونجه، یونجه، شبدر، شبدر دارند (شکل ۳).

جهت پیش بینی حضور دمین های عملکردی پروتئین های مورد نظر و خانواده های پروتئینی آنها نیز از برنامه InterProScan استفاده شد. برای پروتئین HPPD مشخص شد از اسید آمینه نه تا ۴۳۳ متعلق به Glyoxalase/Bleomycin resistance بالاخانواده protein/Dihydroxybiphenyl dioxygenase دمین Vicinal oxygen chelate (VOC) در محدوده اسید آمینه ۳۳-۱۳۷ و ۲۱۴-۳۷۴ و یک

در ان‌ها دخیل‌اند برنامه‌ی InterProScan در جدول ۳ خلاصه شده است.

یک، یک، ۱۲ و ۱۵ موتیف حفاظت‌شده دارند که در جدول ۲ گفته شده است و عملکرد مولکولی پروتئین‌های پیش‌بینی‌شده و فرایندهای زیستی که پروتئین‌ها

جدول ۳- تعیین عملکرد مولکولی و فرایندهای زیستی با برنامه InterProScan

Table 3. Determination of the molecular function and biological process of proteins with InterProScan program

Protein	Biological Process	Molecular Function
HPPD	metabolic - Aromatic amino acid family process - Oxidation-reduction process	-4-hydroxyphenylpyruvate dioxygenase activity - Oxidoreductase activity, acting on single donors with incorporation of molecular oxygen
VTE5	None predicted.	None predicted.
HPT	None predicted.	Transferase activity, transferring alkyl or aryl (other than methyl) groups
VTE3	Methylation	Methyltransferase activity
TC	None predicted.	Tocopherol cyclase activity
γ-TMT	Methylation	Methyltransferase activity

این موضوع حاکی از آن است که به این پروتئین فقط در زمان خاصی در سلول نیاز است و اگر شاخص ناپایداری پایین‌تر از ۴۰ باشد، پروتئین پایدارتر است و به صورت دائم مورد استفاده قرار می‌گیرد (جدول ۴).

ترکیب اسیدهای آمینه در ساختار اولیه پروتئین‌ها نشان داد که بالاترین فراوانی متعلق به لوسین، سرین، گلایسین و کمترین فراوانی متعلق به دو اسیدآمینه سلنوسیستئین و پیرولیزین است. شاخص ناپایداری بالای ۴۰ نشان می‌دهد که پروتئین عمر بالای ندارد.

جدول ۴- تعیین خصوصیات ساختار اولیه پروتئین‌ها با ابزار ProtParam

Table 4. Characterization of primary structure of proteins with the ProtParam tool

Protein	Mw (kDa)	pI	aa composition (%)		number of charged residues		II	GRAVY
			max	Min	negatively	positively		
HPPD	48.11943	5.31	Ser (9)	Pyl & Sec (0)	58	45	41.54	-0.363
VTE5	34.47431	9.66	Leu (11.7)	Pyl & Sec (0)	20	29	41.32	0.380
HPT	40.06685	8.83	Leu (11.6)	Pyl & Sec (0)	23	29	44.66	0.467
VTE3	38.70770	9.09	Leu (8.4)	Pyl & Sec (0)	37	45	39.59	-0.242
TC	55.24714	6.34	Gly (9.1)	Pyl & Sec (0)	51	48	36.58	-0.463
γ-TMT	39.04769	6.27	Ser (10)	Pyl & Sec (0)	40	37	56.82	-0.148

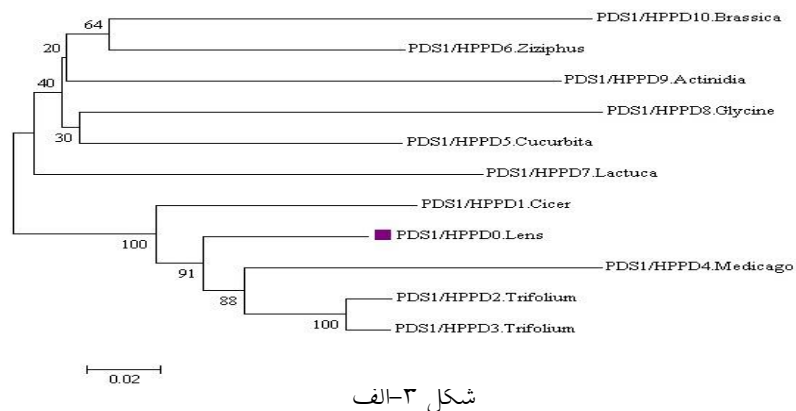
که به صورت محلول در سیتوپلاسم است، پنج پروتئین دیگر در فضای بین دو غشا پلاستیدها قرار می‌گیرند (جدول ۵).

پیش‌بینی نتایج حاصل از مکانیزم محل قرارگیری پروتئین‌ها در سلول‌های یوکاریوتی برنامه آنلاین HPPD نشان داد که به غیر از پروتئین DeepLoc-1.0

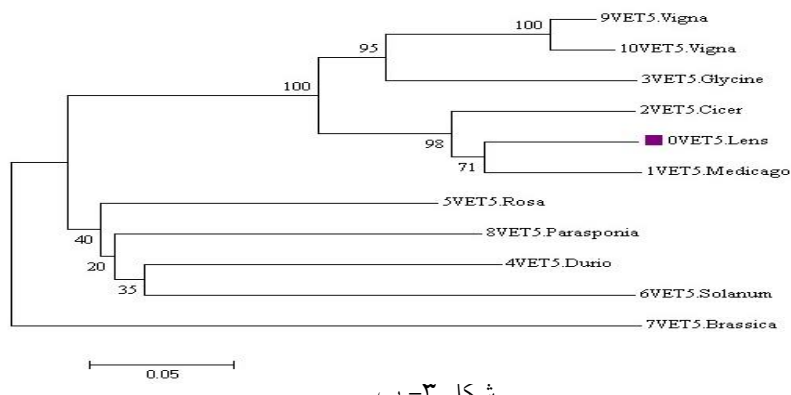
جدول ۵- تعیین محل استقرار پروتئین‌ها در سلول با برنامه DeepLoc-1.0

Table 5. Determination of proteins subcellular localization with DeepLoc-1.0 program

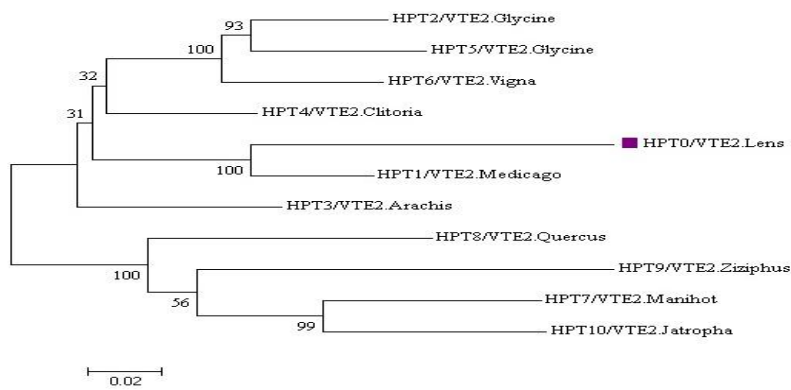
Protein	Localization	Type
HPPD	Cytoplasm	Soluble
VTE5	Plastid	Membrane
HPT	plastid	Membrane (integral component of membrane)
VTE3	Plastid	Membrane
TC	Plastid	Membrane
γ-TMT	Plastid	Membrane



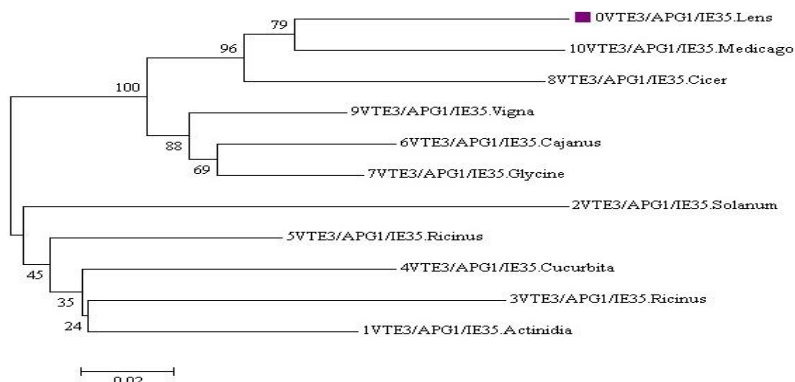
شکل ۳-الف



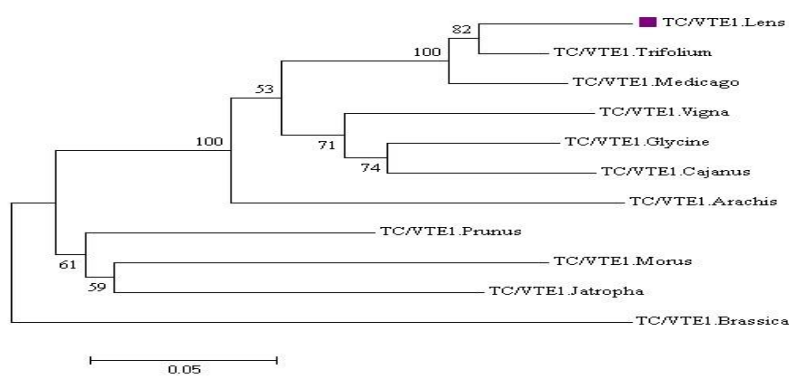
شکل ۳-ب



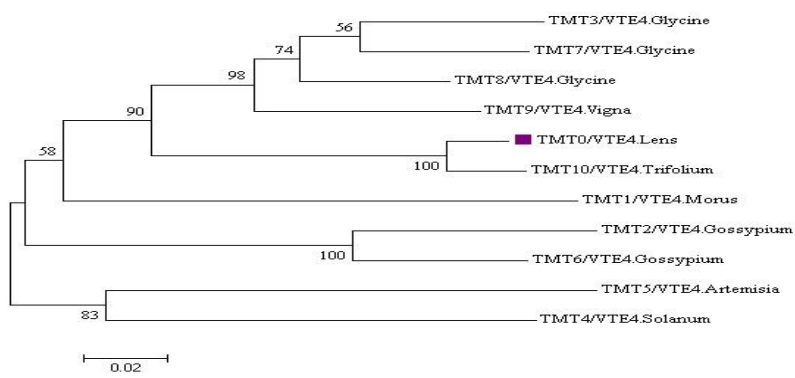
شکل ۳-پ



شکل ۳-ت



شکل ۳-ث



شکل ۳-ج

شکل ۳- آنالیز فیلوجنتیکی پروتئین‌های HPPD (الف)، VTE5 (ب)، HPT (پ)، VTE3 (ت)، TC (ث) و γ -TMT (ج) در عدس که توسط نرم افزار MEGA 7 با مربع‌های قرمز مشخص شده است.

Figure 3. Phylogenetic analysis of HPPD (a), VTE5 (b), HPT (c), VTE3 (d), TC (e) and γ -TMT (f) in lentil, by the MEGA 7 software with red squares is shown.

REFERENCES

- Arango, Y. & Heise, K. P. (1998). Localization of α -tocopherol synthesis in chromoplast envelope membranes of *Capsicum annuum* L. fruits. *Journal of Experimental Botany*, 49(324), 1259-1262.
 Bao, R., Huang, L., Andrade, J., Tan, W., Kibbe, W. A., Jiang, H., & Feng, G. (2014). Review of current methods, applications, and data management for the bioinformatics analysis of whole exome sequencing. *Cancer Informatics*, 13, CIN-S13779.

- Bramley, P. M., Elmada, I., Kafatos, A., Kelly, F. J., Manios, Y., Roxborough, H. E., Schuch, W., Sheehy, P. J. & Wagner, K. H. (2000). Vitamin E: A critical review. *Journal of the Science of Food Agriculture*, 80, 913-938.
- Fryer, M. J. (1993). Evidence for the photoprotective effects of vitamin E. *Photochemistry and Photobiology*, 58(2), 304-312.
- Gill, R. W. & Sanseau, P. (2000). Rapid in silico cloning of genes using expressed sequence tags (ESTs). *Biotechnology Annual Review*, 5, 25-44.
- Hugly, S. & Somerville, C. (1992). A role for membrane lipid polyunsaturation in chloroplast biogenesis at low temperature. *Plant Physiology*, 99(1), 197-202.
- Kumar, S., Stecher, G. & Tamura, K. (2016). MEGA7: molecular evolutionary genetics analysis version 7.0 for bigger datasets. *Molecular Biology and Evolution*, 33(7), 1870-1874.
- Mène-Saffrané, L. & DellaPenna, D. (2010). Biosynthesis, regulation and functions of tocochromanols in plants. *Plant Physiology and Biochemistry*, 48(5), 301-309.
- Mene-Saffrane, L. & Pellaud, S. (2017). Current strategies for vitamin E biofortification of crops. *Current Opinion in Biotechnology*, 44, 189-197.
- Muehlbauer, F. J., Cho, S., Sarker, A., McPhee, K. E., Coyne, C. J., Rajesh, P. N. & Ford, R. (2006). Application of biotechnology in breeding lentil for resistance to biotic and abiotic stress. *Euphytica*, 147(1-2), 149-165.
- Ruiz-Sola, M. A., Coman, D., Beck, G., Barja, M. V., Colinas, M., Graf, A. & Grussem, W. (2016). Arabidopsis Geranylgeranyl Diphosphate Synthase 11 is a hub isozyme required for the production of most photosynthesis-related isoprenoids. *New Phytologist*, 209(1), 252-264.
- Spitzer, V. & Schweigert, F. (2007). Vitamin basics. The facts about vitamins in nutrition. *DSM Nutritional Products Ltd, Germany*.
- Srivastava, R. P. & Vasishtha, H. (2012). Saponins and lectins of Indian chickpeas (*Cicer arietinum*) and lentils (*Lens culinaris*). *Indian Journal of Agricultural Biochemistry*, 25(1), 44-47.
- Valentin, H. E., Lincoln, K., Moshiri, F., Jensen, P. K., Qi, Q., Venkatesh, T. V., Karunanananda, B., Baszis, S. R., Norris, S. R., Savidge, B., Gruys, K. J. & Last, R. L. (2006). The Arabidopsis vitamin E pathway gene5-1 mutant reveals a critical role for phytol kinase in seed tocopherol biosynthesis. *The Plant Cell*, 18(1), 212-224.
- Vom Dorp, K., Hözl, G., Plohmann, C., Eisenhut, M., Abraham, M., Weber, A. P. M., Hanson, A. D. & Dörmann, P. (2015). Remobilization of phytol from chlorophyll degradation is essential for tocopherol synthesis and growth of Arabidopsis. *The Plant Cell*, 27(10), 2846-2859.
- Yadav, S. S., McNeil, D. & Stevenson, P. C. (Eds.). (2007). *Lentil: An ancient crop for modern times*. Springer Science & Business Media.